

Kullback-Leibler 情報量

以下、確率密度函数と確率分布もしくは单に分布と呼んであります。

分布 $q(x)$ と分布 $p(x)$ について、

$$D(q||p) = \int q(x) \log \frac{q(x)}{p(x)} dx = G(q||p) - S(q) \quad \left(\begin{array}{l} \text{ただし} \\ 0 \log 0 = 0 \text{ です。} \end{array} \right)$$

を Kullback-Leibler 情報量と呼ぶこと、ここで、

$$G(q||p) = - \int q(x) \log p(x) dx, \quad S(q) = G(q||q) = - \int q(x) \log q(x) dx.$$

$G(q||p)$ は汎化誤差 (generalization error), $S(q)$ は Shannon 情報量と呼ばれます

練習問題 $D(q||p) \geq 0$ を示せ。

解答例 $f(x) = x \log x$ ($x \geq 0$) とおく。 $f'(x) = \log x + 1$, $f''(x) = \frac{1}{x} > 0$ なので f は下に凸な函数である。ゆえに、Jensen の不等式より

$$\begin{aligned} D(q||p) &= \int \frac{q(x)}{p(x)} \log \frac{q(x)}{p(x)} p(x) dx = \int f\left(\frac{q(x)}{p(x)}\right) p(x) dx \geq f\left(\int \frac{q(x)}{p(x)} p(x) dx\right) \\ &= f\left(\int q(x) dx\right) = f(1) = 1 \log 1 = 0. \quad \uparrow \text{Jensen の不等式.} \quad \square \end{aligned}$$

練習問題 分布 $q(x)$ の平均、分散を μ_0, σ_0^2 と書くとき、 $p(x) = \frac{1}{\sqrt{2\pi\sigma^2}} e^{-\frac{(x-\mu)^2}{2\sigma^2}}$ とし、

$D(q||p)$ を求め、 $D(q||p)$ を最小化する μ, σ^2 を求めよ。

$$\begin{aligned} \text{解説例} \quad S(q) &= - \int q(x) \log q(x) dx \geq 0, \quad \begin{aligned} (\bar{x}-\mu)^2 &= ((\bar{x}-\mu_0) - (\mu-\mu_0))^2 \\ &= (\bar{x}-\mu_0)^2 - 2(\mu-\mu_0)(\bar{x}-\mu_0) + (\mu-\mu_0)^2 \end{aligned} \\ D(q||p) &= \int q(x) \log \frac{q(x)}{p(x)} dx = - \int q(x) \log p(x) - S(q) = \frac{1}{2} \int q(x) \left(\log(2\pi\sigma^2) + \frac{(\bar{x}-\mu)^2}{\sigma^2} \right) dx - S(q) \\ &= \frac{1}{2} \left(\log(2\pi\sigma^2) + \frac{\sigma_0^2 + (\mu-\mu_0)^2}{\sigma^2} \right) - S(q) \end{aligned}$$

ゆえに、これが最小化する μ, σ^2 は $\mu=\mu_0, \sigma^2=\sigma_0^2$ です。

注意 この事実は、分布 $q(x)$ をもともと予測する正規分布を求めることと、 $q(x)$ の平均と分散を求めることが同じであることを意味する。

練習問題

分布 $q_r(x)$ は $\int_{-\infty}^a q_r(x) dx = \int_a^\infty q_r(x) dx \Leftrightarrow a=a_0$ と $\int_{-\infty}^\infty |x-a| q_r(x) dx = b_0$ エントルピーを求める

$$p(x) = \frac{1}{2b} e^{-\frac{|x-a|}{b}} \quad (\text{Laplace 分布}) \text{ と } \text{えく。} \quad D(q_r||p) \text{ を最小化する } a, b \text{ を求める。}$$

解説例

$$\mathcal{S}(q_r) = -\int_{-\infty}^\infty q_r(x) \log q_r(x) dx \text{ と } \text{えく。}$$

$$\begin{aligned} D(q_r||p) &= -\int_{-\infty}^\infty q_r(x) \log p(x) dx - \mathcal{S}(q_r) = \int_{-\infty}^\infty q_r(x) \left(\log(2b) + \frac{|x-a|}{b} \right) dx - \mathcal{S}(q_r) \\ &= \log(2b) + \frac{1}{b} \int_{-\infty}^\infty |x-a| q_r(x) dx - \mathcal{S}(q_r). \end{aligned}$$

$$\frac{\partial}{\partial a} \int_{-\infty}^\infty |x-a| q_r(x) dx = \int_a^\infty q_r(x) dx - \int_{-\infty}^a q_r(x) dx = 0 \text{ と } \text{えく},$$

$D(q_r||p)$ を最小化する a, b は $a=a_0, b=b_0$ と えく ことがわかる。

□

注意

この事実は分布 $q_r(x)$ をもつもよく予測する Laplace 分布を求めるとき、

分布 $q_r(x)$ の中央値 (median) と中央値との差の絶対値の平均が求めることと同じで、あることを意味する。

□

このように、分布 $q_r(x)$ の平均、分散、中央値などの記述統計量を求めるとき、特殊な分布 (正規分布、Laplace 分布) でもつも $q_r(x)$ をよく予測する (フィットする) ものを求めるることは同じことになる。

$$\boxed{\text{練習問題}} \quad w=(\alpha, \theta), \quad p(x|w) = \begin{cases} \frac{1}{\Gamma(\alpha)\theta^\alpha} e^{-x/\theta} x^{\alpha-1} & (\alpha > 0) \\ 0 & (\alpha \leq 0) \end{cases} \quad \begin{matrix} \leftarrow \text{ガウス分布} \\ \alpha > 0, D(q_r||p) \text{ を最小化する} \\ \leftarrow \alpha > 0 \text{ で単調増加} \end{matrix}$$

$$\boxed{\text{解説例}} \quad \text{以下, } q_r(x) = 0 \quad (x \leq 0) \text{ と仮定する。} \quad \frac{d}{dx} \log \Gamma(\alpha) = \psi(\alpha) \text{ を digamma 関数と呼ぶ}.$$

$$-\log p(x|w) = \log \Gamma(\alpha) + \alpha \log \theta + \frac{x}{\theta} - (\alpha-1) \log x, \quad D(q_r||p) = G(q_r||p) - \mathcal{S}(q_r),$$

$$G(q_r||p) = -\int q_r(x) \log p(x|w) dx = \log \Gamma(\alpha) + \alpha \log \theta + \underbrace{\frac{1}{\theta} \int q_r(x) x dx}_{=: \mu_0} - (\alpha-1) \underbrace{\int q_r(x) \log x dx}_{=: \log \nu_0}$$

$$\frac{\partial}{\partial \theta} G(q_r||p) = \frac{\alpha}{\theta} - \frac{\mu_0}{\theta^2} = \frac{\theta \alpha - \mu_0}{\theta^2} = 0, \quad \therefore \theta \alpha = \mu_0$$

$$\frac{\partial}{\partial \alpha} G(q_r||p) = \psi(\alpha) + \log \theta - \log \nu_0 = \psi(\alpha) - \log \alpha + \log \mu_0 - \log \nu_0 = 0,$$

$$\therefore \log \alpha - \psi(\alpha) = \log \mu_0 - \log \nu_0 \stackrel{\text{Jensenの不等式}}{\geq} 0, \quad \left(\log \alpha - \psi(\alpha) \text{ は非単調減少} \right)$$

これで α が決まる。

□

Sanovの定理 (rough version)

$$\left(\begin{array}{l} \text{分布 } p(x) \text{ にしたがう乱数列} \\ X_1, X_2, \dots, X_n \text{ がまるで} \\ \text{分布 } q(x) \text{ にしたがう乱数列} \\ \text{に見える確率} \end{array} \right) = \exp \left(-n D(q||p) + O(n) \right) \text{ as } n \rightarrow \infty, \quad \square$$

有限集合上の確率測度の場合の証明

$p_1, \dots, p_r, q_1, \dots, q_r \geq 0, \sum_{i=1}^r p_i = 1, \sum_{i=1}^r q_i = 1$ と仮定する。 p は n の確率 p_i である $\{1, 2, \dots, r\}$ 上の確率測度であるとし、 q も同様とする。このとき、

$$D(q||p) = \sum_{i=1}^r q_i \log \frac{q_i}{p_i} \quad (0 \log 0 = 0 \text{ と約束}).$$

p にしたがう乱数列 X_1, X_2, \dots, X_n の中の i の個数を K_i と書く。このとき、

$$\left(\begin{array}{l} X_1, \dots, X_n \text{ がまるで} \\ \text{分布 } p \end{array} \right) = \left(\frac{K_i}{n} \approx q_i \text{ のときの } \frac{n!}{K_1! \dots K_r!} p_1^{K_1} \dots p_r^{K_r} \right)$$

$$\approx \frac{n^n e^{-n} \sqrt{2\pi n}}{(nq_1)^{nq_1} e^{-nq_1} \sqrt{2\pi n q_1} \dots (nq_r)^{nq_r} e^{-nq_r} \sqrt{2\pi n q_r}}$$

$$= \frac{1}{\sqrt{(2\pi n)^{r-1} q_1 \dots q_r}} \left(\left(\frac{q_1}{p_1} \right)^{q_1} \dots \left(\frac{q_r}{p_r} \right)^{q_r} \right)^{-n}$$

$$= \exp \left(-n \underbrace{\sum_{i=1}^r q_i \log \frac{q_i}{p_i}}_{= D(q||p)} + O(\log n) \right) \text{ as } n \rightarrow \infty, \quad \square$$

Sanovの定理

$$\left(\begin{array}{l} \text{分布 } p(x) \text{ にしたがう乱数列} \\ X_1, X_2, \dots, X_n \text{ がまるで} \\ \text{分布 } q(x) \text{ にしたがう乱数列} \\ \text{に見える確率} \end{array} \right) = \exp \left(-n D(q||p) + O(n) \right) \text{ as } n \rightarrow \infty$$

は KL 情報量 $D(q||p)$ が "分布 $p(x)$ にしたがう長さ n の乱数列が" 分布 $q(x)$ にしたがう乱数列に見える確率が指數函数的に減少する速さであることを意味する。

KL情報量の使い方 1

Sanovの定理は分布 $p(x)$ による分布 $q(x)$ のシミュレーション

の誤差 (予測誤差 (prediction error) $\approx \text{KL}(p||q)$) が Kullback-Leibler 情報量 $D(q||p)$ で表されることが意味しているとみなせた。

$$(モデル p(x) による直分布 q(x) の予測誤差) = D(q||p).$$

KL情報量の使い方2

分布 $p(x)$ が与えられているとき、特種な形の分布 $q(x)$ が分布 $p(x)$ からもっとも出でやすい分布を得なければ "KL情報量 $D(q||p)$ を最大化する分布 $q(x)$ を特種な形の分布の中から見付ければ" よい。

- $p(x)$ を事前分布とする canonical 分布の導出
- 事後分布 $p(x)$ の平均場近似 (いわゆる变分 Bayes 推論を一般化)

Canonical 分布の導出

分布 $p(x)$ からもっとも出でやすい分布 $q(x)$ を条件

$$\int f(x) q(x) dx = C$$

をみたすものと求めよう、Lagrange の未定乗数法を使う。

$$L := L[q, \beta, \lambda] := \int q(x) \log \frac{q(x)}{p(x)} dx + \beta \left(\int f(x) q(x) dx - C \right) + (\lambda - 1) \left(\int q(x) dx - 1 \right)$$

$$\begin{cases} \frac{\partial L}{\partial \beta} = \int f(x) q(x) dx - C = 0 \\ \frac{\partial L}{\partial \lambda} = \int q(x) dx - 1 = 0 \\ \frac{\delta L}{\delta q(x)} = \log \frac{q(x)}{p(x)} + 1 + \beta f(x) + \lambda - 1 = \log q(x) - \log p(x) + \beta f(x) + \lambda = 0 \end{cases}$$

以上を解こう、 $q(x) = e^{-\lambda - \beta f(x)} p(x)$, $e^{-\lambda} \int e^{-\beta f(x)} p(x) dx = 1$,

$$Z := e^\lambda = \int e^{-\beta f(x)} p(x) dx, \quad q(x) = \frac{1}{Z} e^{-\beta f(x)} p(x), \quad \text{← 事前分布 } p(x) \text{ の canonical 分布}$$

$$\frac{1}{Z} \int f(x) e^{-\beta f(x)} p(x) dx = C \text{ を解いて } C \text{ が } \beta \text{ を得る。}$$

□

以上の結果は、分布 $p(x)$ は(それが)乱数列 X_1, \dots, X_n を条件

$$\frac{1}{n} \sum_{i=1}^n f(X_i) = C$$

を制限して得られる条件付き確率分布における X_1 の分布が $n \rightarrow \infty$ で

$$q(x) = \frac{1}{Z} e^{-\beta f(x)} p(x)$$

に収束することを意味する。

最大法 (さいゆうほう), maximum likelihood estimation)

分布 $q(x)$ にしたがう乱数の列 X_1, \dots, X_n (分布 $q(x)$ にしたがう独立同分布確率変数群) を母集団分布 $q(x)$ のサイズ n のサンプル (標本) と呼ぶ。

- 大数の法則: $\frac{1}{n} \sum_{k=1}^n f(X_k) \rightarrow \int f(x) q(x) dx$.
- 中心極限定理: $\int \dots \int f\left(\frac{x_1 + \dots + x_n - n\mu_0}{\sqrt{n}\sigma_0}\right) q(x_1) \dots q(x_n) dx_1 \dots dx_n \rightarrow \int f(x) \frac{e^{-x^2/2}}{\sqrt{2\pi}} dx$

統計学の基本問題 未知の分布 $q(x)$ のサンプル X_1, \dots, X_n (の実測値) のみが得られるときサンプルだけから未知の分布についてどこまでをることはできるか?

以下、未知の分布 $q(x)$ のサンプル X_1, \dots, X_n のみが得られるとして仮定する。

最大法 パラメータ w を持つ分布 $p(x|w)$ が与えられるとする。このとき、
 w の函数 $w \mapsto p(X_1|w) \dots p(X_n|w)$ をサンプルの尤度函数 (ゆうどこうすう) と呼ぶ。

さらに、 $L_n(w) = -\frac{1}{n} \sum_{k=1}^n \log p(X_k|w)$ を平均対数尤度の -1 倍と呼ぶ。

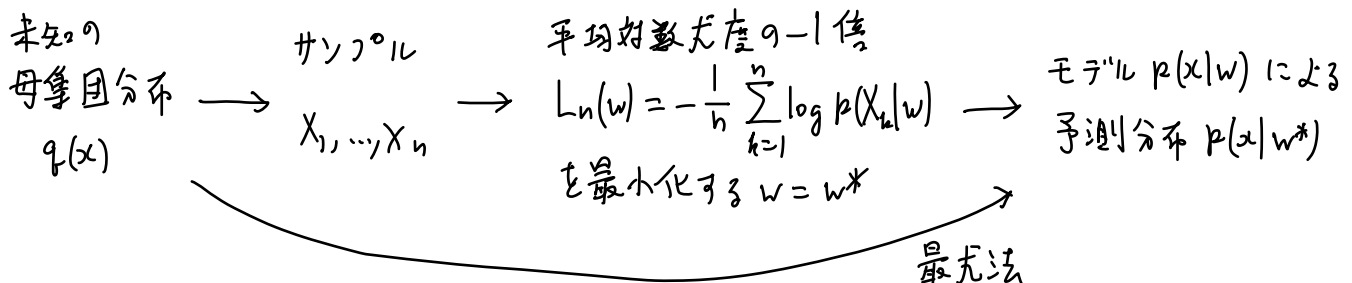
大数の法則より、 $n \rightarrow \infty$ のとき、

$$L_n(w) = -\frac{1}{n} \sum_{k=1}^n \log p(X_k|w) \rightarrow - \int q(x) \log p(x|w) dx = G(q||p(\cdot|w))$$

$D(q||p) = G(q||p) - G(q||p(\cdot|w))$ 分布 $p(x|w)$ による未知の分布 $q(x)$ の予測誤差を最小にするためには汎化誤差 $G(q||p(\cdot|w))$ を最小にする w を求めればよい。
 しかし、 $q(x)$ は未知だと仮定したのでこれ自体は不可能である。

次に汎化誤差 $G(q||p(\cdot|w))$ の代わりに、 $L_n(w) = -\frac{1}{n} \sum_{k=1}^n \log p(X_k|w)$ を最小にする $w = w^*$ を考え、未知の $q(x)$ が予測分布 $p(x|w^*)$ で近似されると期待する。

この方法を**最大法** と呼ぶ。(※モデル $p(x|w)$ の形に制限された分布による $q(x)$ の近似に2, 7nと期待する。)



練習問題 $w = (\mu, \sigma^2)$, $p(x|w) = \frac{1}{\sqrt{2\pi\sigma^2}} e^{-\frac{(x-\mu)^2}{2\sigma^2}}$ のとき, $L_n(w)$ を最小化する μ, σ^2 を求めよ. (6)

解答例 $-\log p(x|w) = \frac{1}{2} \left(\log(2\pi\sigma^2) + \frac{(x-\mu)^2}{\sigma^2} \right)$. $\bar{X} := \frac{1}{n} \sum_{k=1}^n X_k$, $V(X) = \frac{1}{n} \sum_{k=1}^n (X_k - \bar{X})^2$ とおく.
 $L_n := L_n(w) = -\frac{1}{n} \sum_{k=1}^n \log p(X_k|w) = \frac{1}{2} \left(\log(2\pi\sigma^2) + \frac{1}{\sigma^2} \frac{1}{n} \sum_{k=1}^n (X_k - \mu)^2 \right)$.

$$\frac{1}{2} \frac{\partial}{\partial \mu} \frac{1}{n} \sum_{k=1}^n (X_k - \mu)^2 = \mu - \frac{1}{n} \sum_{k=1}^n X_k = \mu - \bar{X} = 0, \quad \therefore \mu = \bar{X}$$

$$\frac{\partial}{\partial \sigma^2} \left(\log(2\pi\sigma^2) + \frac{1}{\sigma^2} V(X) \right) = \frac{1}{\sigma^2} - \frac{V(X)}{\sigma^4} = \frac{\sigma^2 - V(X)}{\sigma^4} = 0 \quad \therefore \sigma^2 = V(X), \quad \square$$

練習問題 $w = (a, b)$, $p(x|w) = \frac{1}{2b} e^{-\frac{|x-a|}{b}}$ のとき, $L_n(w)$ を最小化する a, b を求めよ.

解答例 X_1, \dots, X_n の中央値を \hat{a} と書き, $\hat{b} = \frac{1}{n} \sum_{k=1}^n |X_k - \hat{a}|$ とおく.

$$-\log p(x|w) = \log(2b) + \frac{|x-a|}{b}, \quad L_n := L_n(w) = \log(2b) + \frac{1}{b} \frac{1}{n} \sum_{k=1}^n |X_k - a|$$

$\sum_{k=1}^n |X_k - a|$ を最小化する a は X_1, \dots, X_n の median \hat{a} である. $\therefore a = \hat{a}$.

$$a = \hat{a} \text{ のとき, } L_n = \log(2b) + \frac{\hat{b}}{b} \text{ これが正最小化する } b \text{ は } b = \hat{b}.$$

\square

要するにサンプルの記述統計量である

サンプル平均 $\bar{X} = \frac{1}{n} \sum_{k=1}^n X_k$, サンプル分散 $V(X) = \frac{1}{n} \sum_{k=1}^n (X_k - \bar{X})^2$,

サンプル中央値 \hat{a} , サンプルの中央値との差の絶対値の平均 $\hat{b} = \frac{1}{n} \sum_{k=1}^n |X_k - \hat{a}|$

を求めるには、それが正規分布モデル, Laplace 分布モデルの最大尤法一致する.

練習問題

$$p(x|w) = \begin{cases} \frac{1}{\Gamma(\alpha)\theta^\alpha} e^{-x/\theta} x^{\alpha-1} & (x>0) \\ 0 & (x \leq 0) \end{cases}$$

のとき, $L_n(w)$ を最小化する $w=(\alpha, \theta)$ を求めよ

解答例

$$-\log p(x|w) = \log \Gamma(\alpha) + \alpha \log \theta + \frac{x}{\theta} - (\alpha-1) \log x.$$

$$L_n := L_n(w) = \log \Gamma(\alpha) + \alpha \log \theta + \underbrace{\frac{1}{\theta} \sum_{k=1}^n x_k}_{=: \bar{X}} - (\alpha-1) \underbrace{\frac{1}{n} \sum_{k=1}^n \log x_k}_{=: \overline{\log X}}.$$

$$\frac{\partial L_n}{\partial \theta} = \frac{\alpha}{\theta} - \frac{\bar{X}}{\theta^2} = \frac{\theta\alpha - \bar{X}}{\theta^2} = 0, \quad \therefore \theta\alpha = \bar{X}.$$

$$\frac{\partial L_n}{\partial \alpha} = \psi(\alpha) + \log \theta - \overline{\log X} = \psi(\alpha) - \log \alpha + \log \bar{X} - \overline{\log X} = 0.$$

$$\therefore \log \alpha - \psi(\alpha) = \log \bar{X} - \overline{\log X} \geq 0. \quad \leftarrow \text{これで } \alpha \text{ が決まる.}$$

(相加平均と相乗平均の対数)

□.

$\alpha \mapsto \log \alpha - \psi(\alpha)$ の逆函数の計算と除けば、ガムマ分布モデルの最尤法はサンプルの相加平均と相乗平均（の対数）を計算することと同じである。
このようない形でも相加・相乗平均が出て来る。

Bayes 統計

最尤法の場合と同様にパラメータ w を持つ分布 $p(x|w)$ を用意する。

Bayes 統計の基本は「よくわからないことはサイコロをふって決める仮想世界を考え、その仮想世界で偶然に現実世界の観測されたサンプルが生成された場合に制限した条件付の確率分布を考え、その条件付の確率分布が現実世界を近似していると期待すること」である。

パラメータ w を持つ分布 $p(x|w)$ の形で未知の分布 $q(x)$ を近似したいのが、最適なパラメータ w の値はよくわからないので、パラメータ w の確率分布 $\psi(w)$ を準備する。 $\psi(w)$ をよく 事前分布 (prior) と呼ぶ。

「現実世界」のサンプル X_1, \dots, X_n は未知の母集団分布 $q(x)$ にしたがう独立試行で生成されており、その確率密度函数は未知の

$$Q(x_1, \dots, x_n) = q(x_1) \cdots q(x_n)$$

になる。

一方、「仮想世界」(Bayes' world)では、「サイコロ」 $\psi(w)$ をふってランダムにパラメータ w の値 w を決めた後に母集団分布 $p(x|w)$ にしたがう独立試行でサンプルが生成されると仮定する。サンプルの分布の確率密度函数は

$$Z(x_1, \dots, x_n) = \int \psi(w) p(x_1|w) \cdots p(x_n|w) dw$$

になる。

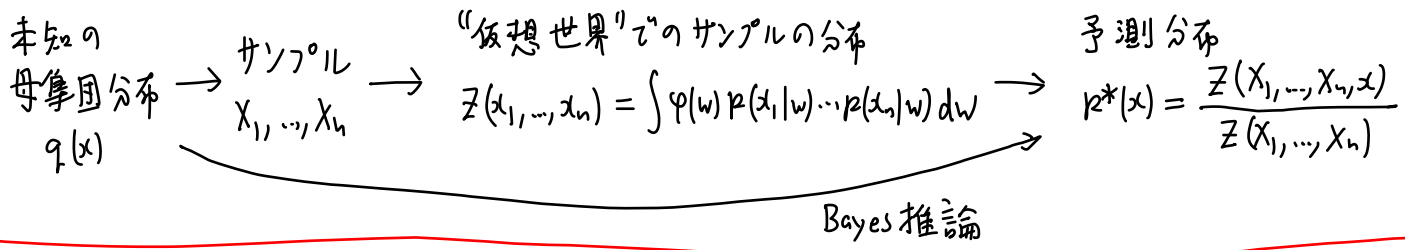
「仮想世界」の確率分布はそのままでは「現実世界」の確率分布を近似していくことはとても期待できない。

しかし、もしも「仮想世界」において偶然に「現実世界」と同じサンプル X_1, \dots, X_n が生成された場合に制限しならば、その次に「仮想世界」で生成される X_{n+1} の分布

$$p^*(x_{n+1}) = \frac{\text{(制限された } x_{n+1} \text{ の確率(密度))}}{\text{(制限された全確率(密度))}} = \frac{Z(x_1, \dots, x_n, x_{n+1})}{Z(x_1, \dots, x_n)}$$

は「現実世界」の X_{n+1} の分布 $q(x_{n+1})$ を近似していくと期待できるのではないか？

実際にそのように考えて、 $p^*(x) = \frac{Z(x_1, \dots, x_n, x)}{Z(x_1, \dots, x_n)}$ を $q(x)$ の予測分布として採用するが Bayes 推論 (Bayes' inference) である。



事後分布 以上のストーリーには 事後分布 (posterior) が出て来なかった。

事後分布は Bayes の定理を使うまでもなく、予測分布を書き直せば自然に出来た。

$$p^*(x) = \frac{1}{Z(x_1, \dots, x_n)} \int \varphi(w) p(x_1|w) \dots p(x_n|w) p(x|w) dw = \int \frac{\varphi(w) p(x_1|w) \dots p(x_n|w)}{Z(x_1, \dots, x_n)} p(x|w) dw.$$

すなわち、

$$\varphi^*(w) = \frac{\varphi(w) p(x_1|w) \dots p(x_n|w)}{Z(x_1, \dots, x_n)}, \quad Z(x_1, \dots, x_n) = \int \varphi(w) p(x_1|w) \dots p(x_n|w) dw,$$

この $\varphi^*(w)$ を 事後分布 と呼ぶ。事後分布は、“仮想世界”で偶然に“現実世界”と同じサンプル X_1, \dots, X_n が生成された場合に制限して得られるパラメータ w の条件付き確率分布である。

w と x のとれる値が有限個の場合

パラメータ w_i が生成される確率

パラメータ w_i のとき X_1, \dots, X_n が生成される確率

総和 (全体)

$$\begin{array}{ll} \varphi(w_1) & \times \quad p(x_1|w_1) \dots p(x_n|w_1) \\ \vdots & \dots \dots \\ \varphi(w_i) & \times \quad p(x_1|w_i) \dots p(x_n|w_i) \\ \vdots & \dots \dots \\ \varphi(w_L) & \times \quad p(x_1|w_L) \dots p(x_n|w_L) \end{array}$$

$$\begin{aligned} Z(x_1, \dots, x_n) &= (X_1, \dots, X_n \text{ が生成される確率}) \\ &= \sum_{i=1}^L \varphi(w_i) p(x_1|w_i) \dots p(x_n|w_i) \end{aligned}$$

$$\left(\begin{array}{l} X_1, \dots, X_n \text{ が生成された場合に} \\ \text{制限したときにパラメータ } w_i \text{ が} \\ \text{あたる確率} \end{array} \right) = \frac{\varphi(w_i) p(x_1|w_i) \dots p(x_n|w_i)}{Z(x_1, \dots, x_n)}.$$

定理 (渡辺澄夫) ゆるい条件もとで Bayes 推論で得られる予測分布 $p^*(x)$ はモデル $p(x|w)$ の範囲で $q(x)$ をもっとよく予測する分布 (=サンプルサイズ $n \rightarrow \infty$ で) 近付く。さらに、 $n \rightarrow \infty$ の分配函数 $Z(x_1, \dots, x_n)$ や予測分布 $p^*(x)$ の予測誤差 $D(q||p^*)$ の漸近挙動も (原理的には) 詳しくわかる。

↑ 広中の特異点解消 (の divisor 版) を本質的に使う。

詳しく述べ、渡辺澄夫著『ベイズ統計の理論と方法』(2012) を参照。

統計力学との類似

$$L_n(w) = -\frac{1}{n} \sum_{k=1}^n \log p(X_k|w)$$

$$Z(X_1, \dots, X_n) = \int \varphi(w) p(X_1|w) \dots p(X_n|w) dw = \int e^{-n L_n(w)} \varphi(w) dw.$$

これは統計力学の分配函数

$$Z(\beta) = \int e^{-\beta H(w)} \varphi(w) dw \quad \begin{pmatrix} \text{等確率の原理を仮定すると} \\ \varphi(w) \text{は省略されるが強いてある} \end{pmatrix}$$

と非常に似ている。

そこで、 $Z(X_1, \dots, X_n)$ を逆温度 β を入れて次のように一般化する：

$$Z(X_1, \dots, X_n | \beta) = \int \varphi(w) p(X_1|w)^{\beta} \dots p(X_n|w)^{\beta} dw = \int e^{-\beta n L_n(w)} \varphi(w) dw.$$

これは Hamiltonian の対数尤度の -1 倍

$$n L_n(w) = -\sum_{k=1}^n \log p(X_k|w)$$

である場合の canonical 分布の分配函数の形をしている。

統計学	物理学
対数尤度函数の -1 倍	確率変数 X_1, \dots, X_n を含む Hamiltonian $H(w)$
$n L_n(w) = -\sum_{k=1}^n \log p(X_k w)$	
$Z(X_1, \dots, X_n \beta) = \int e^{-\beta n L_n(w)} \varphi(w) dw$	$Z(\beta) = \int e^{-\beta H(w)} \varphi(w) dw$

$\beta \rightarrow \infty$ 絶対零度への極限 $\beta \rightarrow \infty$ で物理系は Hamiltonian を最小化する基底状態で凍り付く。Bayes統計の Hamiltonian は対数尤度函数の -1 倍なので、"至" は対数尤度函数の -1 倍 $n L_n(w)$ を最小化する $w = w^*$ で凍り付く。

これは Bayes 推測の $\beta \rightarrow \infty$ の極限が最尤法であることを意味している。□

$\beta = 0$	$\beta = 1$	β	$\beta = \infty$
事前分布	通常のベイズ推論	逆温度 β のベイズ推論	最尤法

逆温度 β 付きの事後分布と予測分布

$$\mathbb{Z}(x_1, \dots, x_n | \beta) := \int \varphi(w) p(x_1 | w)^{\beta} \dots p(x_n | w)^{\beta} dw = \int e^{-\beta \sum_i \ln(w)} \varphi(w) dw,$$

$$\varphi^*(w | \beta) := \frac{\varphi(w) p(x_1 | w)^{\beta} \dots p(x_n | w)^{\beta}}{\mathbb{Z}(x_1, \dots, x_n | \beta)} = \frac{e^{-\beta \sum_i \ln(w)} \varphi(w)}{\mathbb{Z}(x_1, \dots, x_n | \beta)},$$

$$p^*(x | \beta) := \int \varphi^*(w | \beta) p(x | w) dw = \frac{\int \varphi(w) p(x_1 | w)^{\beta} \dots p(x_n | w)^{\beta} p(x | w) dw}{\int \varphi(w) p(x_1 | w)^{\beta} \dots p(x_n | w)^{\beta} dw}.$$

このとき

$$\mathbb{Z}\left(\begin{matrix} x_1 & \dots & x_n \\ \beta_1 & \dots & \beta_n \end{matrix}\right) := \int \varphi(w) p(x_1 | w)^{\beta_1} \dots p(x_n | w)^{\beta_n} dw$$

とおいくと、

$$\mathbb{Z}(x_1, \dots, x_n | \beta) = \mathbb{Z}\left(\begin{matrix} x_1 & \dots & x_n \\ \beta & \dots & \beta \end{matrix}\right), \quad p^*(x | w) = \frac{\mathbb{Z}\left(\begin{matrix} x_1 & \dots & x_n & x \\ \beta & \dots & \beta & 1 \end{matrix}\right)}{\mathbb{Z}\left(\begin{matrix} x_1 & \dots & x_n \\ \beta & \dots & \beta \end{matrix}\right)}.$$

分配函数 $\mathbb{Z}\left(\begin{matrix} x_1 & \dots & x_n \\ \beta_1 & \dots & \beta_n \end{matrix}\right)$ を“すへ”と表わせる。

指數型分族と共役事前分布（例外的に容易な場合）

指數型分布族

$$\left\{ p(x|w) = v(x) e^{-\langle f(w), g(x) \rangle} \quad (f(w), g(x) \in \mathbb{R}^r, \langle \cdot, \cdot \rangle : 内積) \right.$$

$$\left. \varphi(w|c) = z(c)^{-1} e^{-\langle f(w), c \rangle}, \quad z(c) = \int e^{\langle f(w), c \rangle} dw \quad (c \in \mathbb{R}^r) \right.$$

共役事前分布

$$\varphi(w|c) p(x_1|w)^{\beta_1} \cdots p(x_n|w)^{\beta_n} = z(c)^{-1} v(x_1)^{\beta_1} \cdots v(x_n)^{\beta_n} e^{-\langle f(w), c + \sum_{k=1}^n \beta_k g(x_k) \rangle}$$

$$z\left(\frac{x_1 \cdots x_n}{\beta_1 \cdots \beta_n}\right) = z(c)^{-1} v(x_1)^{\beta_1} \cdots v(x_n)^{\beta_n} z\left(c + \sum_{k=1}^n \beta_k g(x_k)\right).$$

$$\varphi^*(w|c) = \frac{\varphi(w|c) p(x_1|w)^{\beta_1} \cdots p(x_n|w)^{\beta_n}}{z\left(\frac{x_1 \cdots x_n}{\beta_1 \cdots \beta_n}\right)} = \varphi\left(w \mid c + \sum_{k=1}^n \beta_k g(x_k)\right).$$

$$p^*(x) = \frac{z\left(\frac{x_1 \cdots x_n x}{\beta_1 \cdots \beta_n 1}\right)}{z\left(\frac{x_1 \cdots x_n}{\beta_1 \cdots \beta_n}\right)} = v(x) \frac{z\left(c + \sum_{k=1}^n \beta_k g(x_k) + g(x)\right)}{z\left(c + \sum_{k=1}^n \beta_k g(x_k)\right)}.$$

Bayes統計の“仮想世界”的確率分布をサンプル X_1, \dots, X_n が生成された場合に制限することは、共役事前分布のパラメータ c を

$$c \mapsto c + \sum_{k=1}^n \beta_k g(x_k)$$

と更新することに対応している。

(注) $n=0$ の場合の予測分布を

$$p^*(x|c) = v(x) \frac{z(c+g(x))}{z(c)}$$

と書くと、一般の n の予測分布 $p^*(x)$ は

$$p^*(x) = p^*(x \mid c + \sum_{k=0}^n \beta_k x_k)$$

と表わされる。共役事前分布を使用できる場合には、予測分布の explicit formula を求めためにはサンプルサイズ $n=0$ の予測分布の公式を求めるのが“十分”である。

例 (正規分布モデル) $w = (\mu, \lambda)$, $c = (a, b, c, d)$

$$\begin{aligned}
 p(x|w) &= \sqrt{\frac{\lambda}{2\pi}} e^{-\frac{\lambda}{2}(x-\mu)^2} = \frac{1}{\sqrt{2\pi}} e^{-\left(\frac{\lambda}{2}x^2 - \lambda\mu x + \frac{\lambda\mu^2}{2} - \frac{\log\lambda}{2}\right)} \\
 \varphi(w|c) &= z(c)^{-1} e^{-\left(\frac{\lambda}{2}a - \lambda\mu b + \frac{\lambda\mu^2}{2}c - \frac{\log\lambda}{2}d\right)} \\
 &= z(c)^{-1} e^{-\frac{\lambda c}{2}\left(\mu - \frac{b}{c}\right)^2 - \frac{\lambda}{2} \frac{ac-b^2}{c}} \lambda^{\frac{d}{2}} \\
 \int e^{-\frac{\lambda c}{2}\left(\mu - \frac{b}{c}\right)^2} d\mu &= \sqrt{\frac{2\pi}{\lambda c}} \quad \frac{d-1}{2} = \frac{d+1}{2} - 1 \\
 \int_0^\infty e^{-\frac{ac-b^2}{2c}\lambda} \lambda^{\frac{d-1}{2}} d\lambda &= \Gamma\left(\frac{d+1}{2}\right) \left(\frac{2c}{ac-b^2}\right)^{\frac{d+1}{2}} \\
 \therefore z(c) &= \sqrt{\frac{2\pi}{c}} \Gamma\left(\frac{d+1}{2}\right) \left(\frac{2c}{ac-b^2}\right)^{\frac{d+1}{2}} \\
 c+g(x) &= (a+x^2, b+x, c+1, d+1), \\
 z(c+g(x)) &= \binom{x \text{ にような } n}{\text{全数}} \times \left(1 + \frac{c}{c+1} \frac{c}{ac-b^2} \left(x - \frac{c}{b}\right)^2\right)^{-\frac{d+2}{2}}
 \end{aligned}$$

$$\begin{aligned}
 &(x^2+a)(c+1) - (x+b)^2 \\
 &= (c+1)x^2 + (c+1)a - x^2 - 2bx - b^2 \\
 &= cx^2 - 2bx + (c+1)a - b^2 \\
 &= c\left(x - \frac{b}{c}\right)^2 + (c+1)a - \left(1 + \frac{1}{c}\right)b^2 \\
 &= c\left(x - \frac{b}{c}\right)^2 + \frac{c+1}{c}(ac-b^2) \\
 &= \frac{c+1}{c}(ac-b^2)\left(\frac{c}{c+1} \frac{c}{ac-b^2} \left(x - \frac{b}{c}\right)^2 + 1\right)
 \end{aligned}$$

サンプルサイズ $n=0$ の予測分布は

$$p^*(x|c) = \binom{x \text{ にような } n}{\text{全数}} \times \left(1 + \frac{c}{c+1} \frac{c}{ac-b^2} \left(x - \frac{c}{b}\right)^2\right)^{-\frac{d+2}{2}} \quad \leftarrow \text{自由度 } \frac{d+2}{2} \text{ の } \chi^2 \text{ 分布}$$

$\beta_n = \beta$ のときのサンプルサイズ n の予測分布は

$$p^*(x|\tilde{c}) = p^*(x|c + \beta \sum_{k=1}^n g(x_k)) = \binom{x \text{ にような } n}{\text{全数}} \times \left(1 + \frac{\tilde{c}}{\tilde{c}+1} \frac{\tilde{c}}{\tilde{a}\tilde{c}-\tilde{b}^2} \left(x - \frac{\tilde{c}}{\tilde{b}}\right)^2\right)^{-\frac{\tilde{d}+2}{2}},$$

$$\left\{
 \begin{array}{l}
 \tilde{a} = a + n\beta \frac{1}{n} \sum_{k=1}^n X_k^2 = a + n\beta (V(X) + \bar{X}^2), \\
 \tilde{b} = b + n\beta \frac{1}{n} \sum_{k=1}^n X_k = b + n\beta \bar{X}, \\
 \tilde{c} = c + n\beta, \\
 \tilde{d} = d + n\beta
 \end{array}
 \right. \quad \left\{
 \begin{array}{l}
 \bar{X} := \frac{1}{n} \sum_{k=1}^n X_k, \\
 V(X) := \frac{1}{n} \sum_{k=1}^n (X_k - \bar{X})^2 = \frac{1}{n} \sum_{k=1}^n X_k^2 - \bar{X}^2
 \end{array}
 \right.$$

サンプルを生成した分布 $q(x)$ の平均と分散をそれぞれ μ_0, σ_0^2 と書くと, $n \rightarrow \infty$ のとき,

$$\begin{aligned}
 \frac{\tilde{c}+1}{\tilde{c}} &\sim 1, \quad \frac{\tilde{a}\tilde{c}-\tilde{b}^2}{\tilde{c}} \sim n\beta V(X) \sim n\beta\sigma_0^2, \quad \frac{\tilde{b}}{\tilde{c}} \sim \bar{X} \sim \mu_0, \quad \frac{\tilde{d}+2}{2} = \frac{n\beta}{2} + \frac{d+1}{2} \\
 p^*(x|\tilde{c}) &\sim \binom{x \text{ にような } n}{\text{全数}} \left(1 + \frac{1}{n\beta\sigma_0^2} (x - \mu_0)^2\right)^{-\frac{n\beta}{2} - \frac{d+1}{2}} \sim \frac{1}{\sqrt{2\pi\sigma_0^2}} e^{-\frac{(x-\mu_0)^2}{2\sigma_0^2}}.
 \end{aligned}$$

たしかに, $n \rightarrow \infty$ で予測分布は正規分布の範囲で分布 $q(x)$ をもつも予測する分布に収束する.

一般の指數型分布族の場合

$$p(x|w) = v(x) e^{-\langle f(w), g(x) \rangle}, \quad w = (w_1, \dots, w_d), \quad f(w) = (f_1(w), \dots, f_r(w))$$

$$\varphi(w|c) = z(c)^{-1} e^{-\langle f(w), c \rangle}$$

これ(予測誤差)を最小化したい

$$-\log p(x|w) = -\log v(x) + \langle f(w), g(x) \rangle \quad (\text{汎化誤差}) = D(q||p(\cdot|w)) + S(q)$$

$$G(q||p(\cdot|w)) = - \int q(x) \log p(x|w) dx = -\log v(x) + \langle f(w), \int g(x) q(x) dx \rangle \rightarrow \text{最小化する } w = w_0.$$

が、一意に存在すると仮定する。このとき、 $p(x|w_0)$ は $p(x|w)$ 型の分布で $q(x)$ をもつともよく予測する分布になる。

$\beta_n = \beta$ のとき、 $n \rightarrow \infty$ について、

$$\xrightarrow{n \rightarrow \infty} \int g(x) q(x) dx \quad (\text{大数の法則})$$

$$\tilde{c} := c + \sum_{k=1}^n \beta g(X_k) = c + n\beta \underbrace{\frac{1}{n} \sum_{k=1}^n g(X_k)}_{\xrightarrow{n \rightarrow \infty} \int g(x) q(x) dx} = n\beta \left(\int g(x) q(x) dx + o(1) \right)$$

$$\therefore \langle f(w), \tilde{c} \rangle = n\beta \left(\underbrace{\langle f(w), \int g(x) q(x) dx \rangle}_{\text{これは } w = w_0 \text{ で最小になる,}} + o(1) \right)$$

Laplace 近似

これは $w = w_0$ で最小になる,



ゆえに、事後分布 $\varphi(w|\tilde{c}) = z(\tilde{c})^{-1} e^{-\langle f(w), \tilde{c} \rangle}$ は $n \rightarrow \infty$ で $w = w_0$ に集中する。

ゆえに、 $n \rightarrow \infty$ とするとき、 $p^*(x) = \int p(x|w) \varphi(w|\tilde{c}) dw \rightarrow \int p(x|w) \delta(w-w_0) dw = p(x|w_0)$,

指數型分布族とその共役事前分布を用いた Bayes 推測では、サンプルサイズ $n \rightarrow \infty$ で予測分布は用いた指數型分布族の範囲内でサンプルを生成した分布とともによく予測する分布に収束する。

注意 指數型分布族と其役事前分布の組み合わせは、議論が特別にシンプルになる非常に特殊な場合である。

- 確率モデルとして指數型分布族を採用しても、事前分布として共役事前分布を使用するとは限らない。
- 確率モデル全体の中で指數型分布族は非常に特殊なものであり、より適切な複雑なモデルを探すと指數型分布族以外になることが大部分である。
- 複雑なモデルでも上に書いたようなことがうまく行くことは渡辺澄夫氏によられて示された。□

練習問題

Bernoulli 分布(コイン投げ分布)モデル $p(x|w) = w^x (1-w)^{1-x}$ ($x=0,1, 0 \leq w \leq 1$)

の共役事前分布を作り、Bayes 推測の様子を調べよ。

$$\left\{ \begin{array}{l} x=1 の確率 \text{が } p(1|w)=w \\ x=0 の確率 \text{が } p(0|w)=1-w \end{array} \right.$$

解答例

$$p(x|w) = w^x (1-w)^{1-x} = e^{x \log w + (1-x) \log (1-w)}$$

$$\varphi(w|a,b) = Z(a,b)^{-1} e^{a \log w + b \log (1-w)} = Z(a,b)^{-1} w^a (1-w)^b, \quad \leftarrow \text{共役事前分布}$$

$$Z(a,b) = \int_0^1 w^a (1-w)^b dw = \int_0^1 w^{(a+1)-1} (1-w)^{(b+1)-1} dw = B(a+1, b+1) = \frac{\Gamma(a+1)\Gamma(b+1)}{\Gamma(a+b+2)},$$

分布 $q(x) = w_0^x (1-w_0)^{1-x} = p(x|w_0)$ にしたがって 0 と 1 の乱数列 X_1, X_2, \dots, X_n を考えよ。

X_1, \dots, X_n の中で 1 であるものの個数を K_n と書く: $K_n = X_1 + \dots + X_n$.

大数の法則より, $\frac{K_n}{n} \rightarrow w_0$ ($n \rightarrow \infty$).

事後分布は $\varphi(w|a+K_n, b+n-K_n) = B(a+K_n+1, b+n-K_n+1) w^{a+K_n} (1-w)^{b+n-K_n}$.

対数尤度函数の -1 倍は, $-\log p(x|w) = \begin{cases} -\log w & (x=1) \\ -\log(1-w) & (x=0) \end{cases}$ と書く,

$$n L_n(w) = - \sum_{k=1}^n \log p(X_k|w) = -K_n \log w - (n-K_n) \log(1-w) = n \left(-\frac{K_n}{n} \log w - \left(1 - \frac{K_n}{n}\right) \log(1-w) \right)$$

$$= n \underbrace{\left(-w_0 \log w - (1-w_0) \log(1-w) + O(1) \right)}_{\text{これより } w=w_0 \text{ は最も小さな値}} \quad \left(\begin{array}{l} -\log \varphi(w|a,b) \\ = -a \log w - b \log(1-w) \\ = n \left(-\frac{a}{n} \log w - \frac{b}{n} \log(1-w) \right) \end{array} \right)$$

$$\begin{aligned} -w_0 \log w - (1-w_0) \log(1-w) &= -w_0 \underbrace{\log(w_0 + \Delta w)}_{w=w_0 + \Delta w} - (1-w_0) \underbrace{\log(1-w_0 - \Delta w)}_{w=w_0 - \Delta w} \\ &= \log w_0 + \underbrace{\log(1 + \frac{\Delta w}{w_0})}_{= \frac{\Delta w}{w_0}} = \log(1-w_0) + \underbrace{\log(1 - \frac{\Delta w}{1-w_0})}_{= -\frac{\Delta w}{1-w_0}} \\ &= \frac{\Delta w}{w_0} - \frac{\Delta w^2}{2w_0^2} + O(\Delta w^3) \quad = -\frac{\Delta w}{1-w_0} - \frac{\Delta w^2}{2(1-w_0)^2} + O(\Delta w^3) \end{aligned}$$

$$\begin{aligned} &= -w_0 \log w_0 - (1-w_0) \log(1-w_0) + \underbrace{\frac{1}{2} \left(\frac{1}{w_0} + \frac{1}{1-w_0} \right) \Delta w^2}_{= \frac{\Delta w^2}{2w_0(1-w_0)}} + O(\Delta w^3) \end{aligned}$$

$$\therefore n L_n(w_0 + \Delta w) = n \left(-w_0 \log w_0 - (1-w_0) \log(1-w_0) + \frac{\Delta w^2}{2w_0(1-w_0)} + O(\Delta w^3) \right)$$

これより, 事後分布は w_0 の近傍 $\propto e^{-n \beta \frac{\Delta w^2}{2w_0(1-w_0)}}$ $\varphi(w_0 + \Delta w)$ のように近づく。

すなわち $n \rightarrow \infty$ で 事後分布は $\propto e^{-n \beta \frac{\Delta w^2}{2w_0(1-w_0)}}$ (正規分布) のように近づく, (中心极限定理)

$n \rightarrow \infty$ で 事後分布は テルタ分布 $\delta(w-w_0)$ に収束する。

□

注意

これ例は有限集合上の確率をあつかっているので非常に特殊である。□

最大法と Bayes 推論の予測分布のちがい

パラメータ w を含む確率分布 $p(x|w)$ とパラメータ w の事前分布 $\varphi(w)$ が与えられているとし、未知の分布 $q(x)$ のサンプル X_1, \dots, X_n が得られているとする。

平均対数尤度函数の -1 倍を $L_n(w) = -\frac{1}{n} \sum_{k=1}^n \log p(X_k|w)$ と書く。

最大法 $L_n(w)$ を最小化するパラメータ $w = \hat{w}$ に対する $\hat{p}(x) = p(x|\hat{w})$ が最大法の予測分布になる。

Bayes 推論 事後分布 $\varphi^*(w) = \frac{e^{-\beta n L_n(w)}}{Z(X_1, \dots, X_n | \beta)} \varphi(w)$ に関する $p(x|w)$ の平均 $p^*(x) = \int p(x|w) \varphi^*(w) dw$ が Bayes 推論の予測分布になる。

注意 もしも事後分布が $L_n(w)$ を最小化する $w = \hat{w}$ に集中していれば“最大法の予測分布と Bayes 推論の予測分布には大きなちがいはない”。

しかし、事後分布が“大きく広がった分布”になっていたり、最大法と Bayes 推論の予測分布はかなりちがつたものになる。そのようなとき、Bayes 推論の予測分布は広がった「ぼやけた」分布になる。 \rightarrow コンピューターによる計算結果を参照。

事後分布が“広がった分布”になることは、尤度函数の形が“広がった形”になるのとほぼ“同じこと”である。そのような状況はサンプルサイズ n が“小さい”とき、Bayes 推論および最大推定が十分に収束していないことを意味している。

そのような推定・推論が十分に収束していないときに、Bayes 推論の予測分布にはそのことが反映され、予測は“ぼやけた”ものになる。

しかし、最大法では尤度函数を最大化するパラメータ $w = \hat{w}$ のみを考え、尤度函数が持っている推定の収束し具合の情報を捨ててしまつて、予測分布を見ても推定の収束し具合はよくわからない。

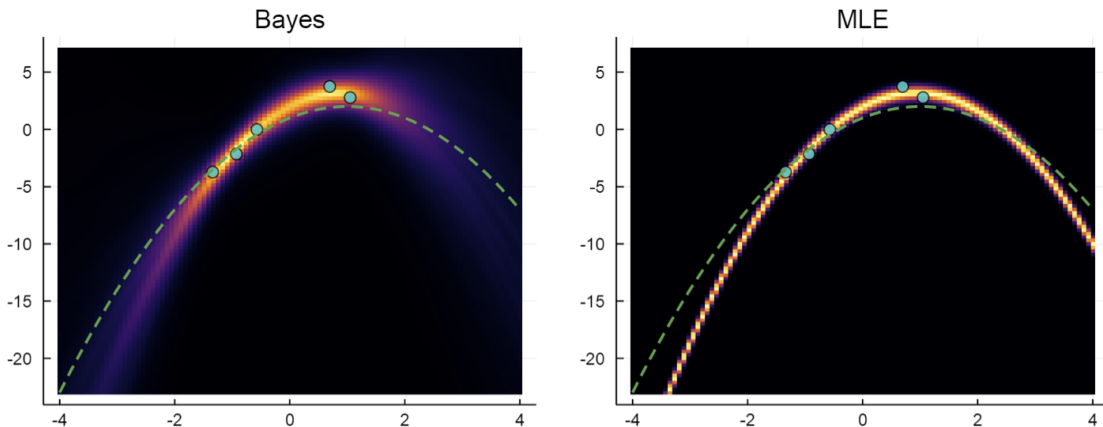
だから、最大法を使う場合には収束し具合の情報を“信頼区間”的で示すことが多い。しかし、“信頼区間”と尤度函数や事後分布の広がり具合の情報は別であることは注意しなければいけない。

覚えておくべきこと 最大法が使える場合には（正則モデルの場合には）、

尤度函数や事後分布の広がり具合や“信頼区間”的な幅は推定・推論の収束し具合を表わしている。

□

例 次のグラフは $y = 1 + 2x - x^2 + \varepsilon$, $\varepsilon \sim \text{Normal}(0,1)$, $x \sim \text{Uniform}(-2,2)$ という法則で生成したサイズ $n=5$ のサンプルと $y = \beta_0 + \beta_1 x + \beta_2 x^2 + \varepsilon$, $\varepsilon \sim \text{Normal}(0,1)$ というモデルで推定した結果である。



シアンのドットがサンプルで、緑がノイズを除いた真の法則を表わしている。
ヒートマップでプロットされているのが予測分布である。

Bayes推論の予測分布はかなりぼやけており、最尤法 (maximum likelihood estimation, MLE, 実質的に最小二乗法) の予測分布は細くくっきりしている。

さらに、Bayes推論の予測分布ではサンプルの x が生成される範囲の $-2 < x < 2$ の外側では非常にぼけているが、最尤法 (MLE) の予測分布ではサンプルの x の範囲の情報は見えなくなってしまっている。

モデルのパラメータが $\beta_0, \beta_1, \beta_2, \sigma$ の4個でサンプルサイズは $n=5$ なので、これは相当に芳しい推定・推論である。Bayes推論の側の予測分布にはその苦しさが、分布が“ぼけ”（予測が“あいまい”になる）という形で現れている。

Bayes推論の予測には「予測の分からなさ加減」がよく表われてあり、その意味で Bayes推論の予測は「正直な予測」と言える。

それに対して、最尤法の予測分布には、尤度函数全体の形が持つたるはずの「予測の分からなさ加減」が反映されていない、最尤法では予測分布以外に「信頼区間」などの情報を示す必要があるだろう。

Bayes推論に似て非なるものたち

$$p^*(x) = \frac{Z(x_1, \dots, x_n, x)}{Z(x_1, \dots, x_n)} \text{ と条件付き確率分布の形で"自然に書ける。"}$$

Bayes推論 事後分布 $\psi^*(w) = Z^{-1} \psi(w) \prod_{k=1}^n p(x_k|w)$ に関する確率モデル $p(x|w)$ の平均を予測分布 $p^*(x) = \int \psi^*(w) p(x|w) dw$ とする。 \square

最尤法 (MLE) 尤度函数 $w \mapsto \prod_{k=1}^n p(x_k|w)$ を最大化する $w = \hat{w}$ を確率モデル $p(x|w)$ に代入してできる $p(x|\hat{w})$ を予測分布とする。 \square

MAP法 (最大事後確率法, maximum a posteriori) 事後分布 $\psi^*(w)$ または同じことか"

(事前分布) \times (尤度函数) $\psi(w) \times \prod_{k=1}^n p(x_k|w)$ を最大化する $w = \tilde{w}$ を確率モデル $p(x|w)$ に代入してできる $p(x|\tilde{w})$ を予測分布とする。

MAP法は正則化項付きの最適化ともみなされる。すなわち、

$$L(w) = - \underbrace{\sum_{k=1}^n \log p(x_k|w)}_{\text{損失関数}} - \underbrace{\log \psi(w)}_{\text{正則化項}} \quad \leftarrow \text{罰則項とも呼ばれる}$$

(loss function) (regularization term)

の最小化する $w = \tilde{w}$ を求めることと本質的に同じである。 $-\log \psi(w)$ が $\lambda \frac{1}{p} \sum_{i=1}^d |w_i|^p$ の形のとき、 L^p -regularization といい、 L^2 -regularization は正規分布の事前分布の場合に対応し、Ridge 正則化と呼ばれる。 L^1 -regularization は Laplace 分布の事前分布の場合に対応し、Lasso 正則化と呼ばれる。このような形で MAP 法もよく使われている。 \square

他の変種 MAP 法のパラメータ推定値は事後分布 $\psi^*(w)$ を最大化する $w = \tilde{w}$ である。

MAP 法は事後分布の最頻値 (major) を解とする推定法である。最頻値の代わりに平均値 $\bar{w} = \int w \psi^*(w) dw$ (や適切に定義された中央値) を代入して予測分布 $p(x|\bar{w})$ を作ることもできる。しかし、モデルが複雑な場合での使用はおすすめできない。 \square

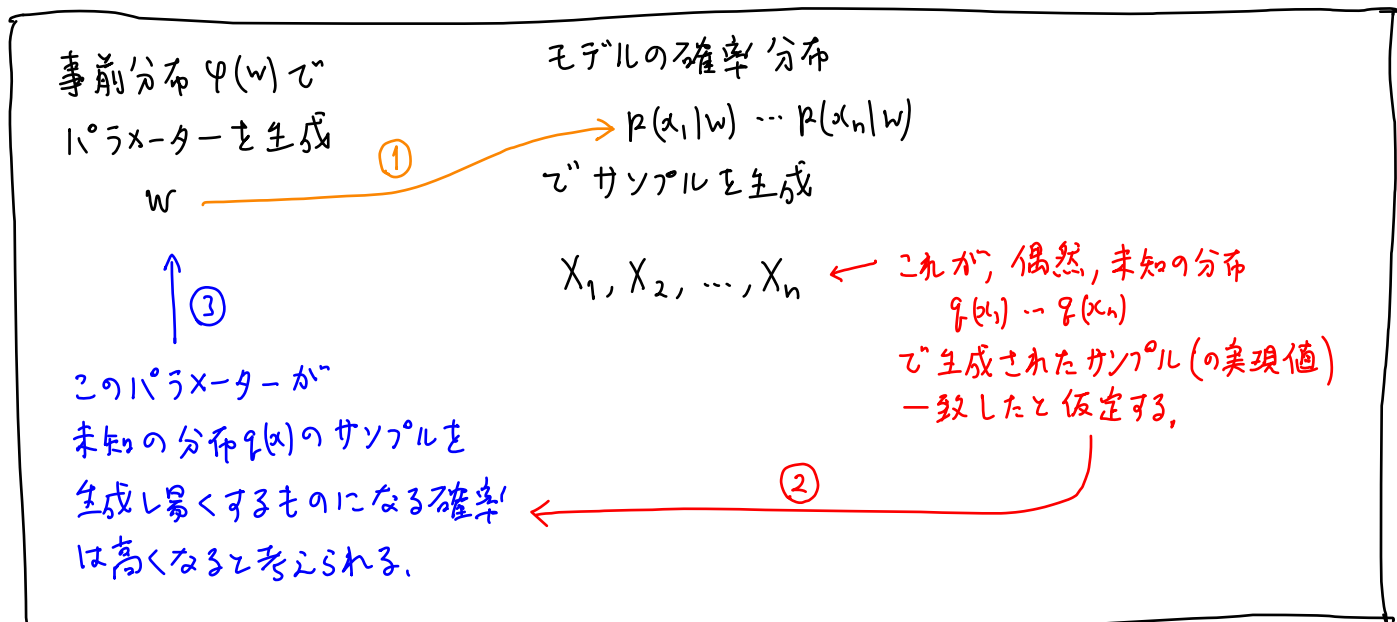
注意 事後分布を求めて、事後分布の記述統計量を求めることがで (例: 最頻値 \rightarrow MAP 法),

「Bayes統計」と呼んでいる場合が非常に多い。Bayes統計の本質は予測分布を事後分布の平均 (もしくはそれと同値な条件) で定義することなので、誤解しないように注意した方がいい。「似て非なるもの」との区別は重要である。 \square

補足

すでに説明したことだが、パラメーター w を分布 $\psi(w)$ によってランダムに決めて、確率分布 $p(x|w)$ にしたがう独立試行でサンプル X_1, \dots, X_n をランダムに生成する“仮想世界”を、サンプル X_1, \dots, X_n が現実の調査・観察で得たデータ（＝サンプル）に一致した場合に制限する条件付き確率分布を考えることから Bayes 推論の基本的な考え方であった。“仮想世界”で生成されたサンプルが現実世界で得たサンプルに一致している場合には、「よくわからない」という理由で事前分布 $\psi(w)$ によってランダム化されたパラメーター w が現実世界で得たサンプルを生成し易いものになると確率が高くなっていると考えられ、さうに現実世界のサンプルを生成し易いパラメーター w に対する分布 $p(x|w)$ は現実の確率法則を近似したものになると期待される。そして、実際にそうであることを相当に一般的な仮定のもとで示すことができる！これが Bayes 統計の数学的な基礎になっている。

一方、Bayes 推論と似て非なるものたちについては、以上のような確率に関する自然な直観は適用できません。（特異モデルと言む）一般的な設定で似て非なるものたちによる推定・推測がうまく行くことを示すのは難しい。似て非なるものとの区別は重要である。



特異モデル

統計学では、未知の分布 $q(x)$ に対して、確率モデル $p(x|w)$ の範囲内の分布で予測誤差

$$D(w) = D(q||p(\cdot|w)) = G(q||p(\cdot|w)) - S(q) \quad (G(q||p) = -\int q(x) \log p(x) dx, S(q) = G(q||q))$$

を最小にするものを近似的に求める問題がよく出で来る。唯一一つと仮定する。

$p(x|w)$ による $q(x)$ の予測誤差 $D(w)$ を最小にする w を w_0 と書くことにする。このとき、函数 $D(w)$ は $w = w_0$ において次のように Taylor 展開される：

$$D(w) = D(w_0) + \frac{1}{2} \sum_{i,j=1}^d D_{w_i w_j}(w_0) (w_i - w_{0,i})(w_j - w_{0,j}) + O(\|w - w_0\|^3).$$

ここで、 $D_{w_i w_j}(w)$ は $D(w)$ の 2 階の偏導函数である。 $D(w_0)$ の最小性より、 $D_{w_i}(w_0) = 0$.

$D(w_0)$ の最小性より、実対称行列 $[D_{w_i w_j}(w_0)]_{i,j=1}^d$ の固有値はすべて 0 以上になる。

その固有値がすべて正のとき、モデル $p(x|w)$ は（真の分布 $q(x)$ について）正則であるといふ。
(そして公いとき特異であるといふ、 w_0 が唯一つでなくとも $p(x|w_0)$ がすべて同じになる十分条件も仮定)

注意 般型的な場合には、 $q(x) = p(x|w_0)$ について $p(x|w)$ が特異モデルになる w の集合は

測度零集合（某次元が正の部分集合）になるのだが、「測度零集合なので現実の問題では無視しない」ということはならない。モデルが「厳密には正則モデルではないとしても

Hessian $[D_{w_i w_j}(w_0)]_{i,j=1}^d$ の正の固有値の中に 0 に非常に近いものがあれば、現実に得られるサンプルサイズの解像度では実質的に特異モデルだとみなす方が正しい場合も存在するからである。□

注意 $\left[D_{w_i w_j}(w_0) \right]_{i,j=1}^d$ と Fisher 情報行列の関係) 上で $q(x) = p(x|w_0)$ あると仮定する。

このとき、 $D(w) = - \int p(x|w_0) \log p(x|w) dx - S(p(\cdot|w_0))$. $\int p(x|w) dx = 1$ より $\int p_{w_i}(x|w) dx = 0, \dots$ ゆえに

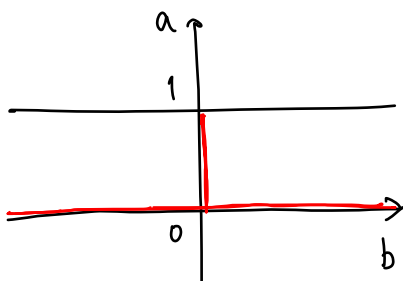
$$D_{w_i}(w_0) = - \int p(x|w_0) \frac{p_{w_i}(x|w_0)}{p(x|w_0)} dx = 0 \quad \int p_{w_i w_j}(x|w) dx = 0$$

$$\begin{aligned} D_{w_i w_j}(w_0) &= - \int p(x|w_0) \left(\frac{\partial^2}{\partial w_i \partial w_j} \Big|_{w=w_0} \log p(x|w) \right) dx \\ &= \int p(x|w_0) \left(\frac{p_{w_i}(x|w_0) p_{w_j}(x|w_0)}{p(x|w_0)^2} - \frac{p_{w_i w_j}(x|w_0)}{p(x|w_0)} \right) dx \\ &= \int p(x|w_0) \left(\frac{\partial}{\partial w_i} \Big|_{w=w_0} \log p(x|w) \right) \left(\frac{\partial}{\partial w_j} \Big|_{w=w_0} \log p(x|w) \right) dx \end{aligned} \quad \left\{ \begin{array}{l} \left[D_{w_i w_j}(w_0) \right]_{i,j=1}^d \text{ は} \\ \text{モデル } p(x|w) \text{ の} \\ \text{Fisher 情報量行列の} \\ w=w_0 \text{ の値に一致。} \end{array} \right.$$

Fisher 情報量行列は本質的に予測誤差の Taylor 展開の 2 次の項のことである

例 混合正規分布モデル $p(x|a,b) = (1-a) \frac{e^{-x^2/2}}{\sqrt{2\pi}} + a \frac{e^{-(x-b)^2/2}}{\sqrt{2\pi}}$ ($0 \leq a \leq 1, b \in \mathbb{R}$)

このとき, $q(x) = \frac{e^{-x^2/2}}{\sqrt{2\pi}}$ はモデル $p(x|a,b)$ の $p(x|a,0)$ と $p(x|0,b)$ を実現可能である。



← 赤の線上のパラメータ (a,b) に対して

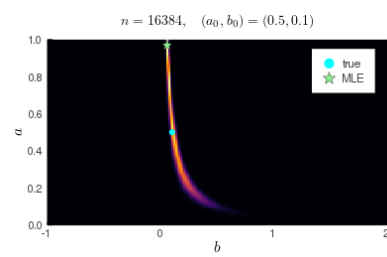
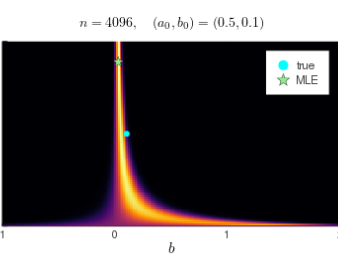
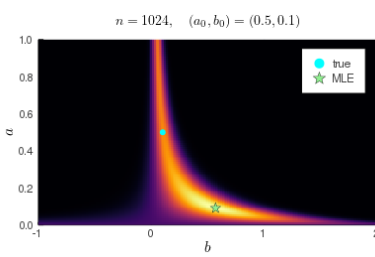
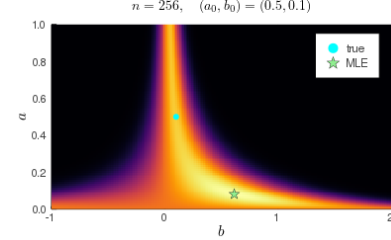
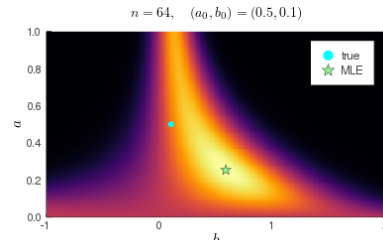
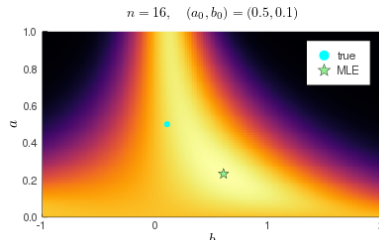
$p(x|a,b) = q(x)$ となる。

$p(x|a,b)$ は $q(x)$ について特異モデルになっている。 $p(x|a,b)$ の確率密度函数は 2つの正規分布の山を持つ形になるのが、2つの山が近付いて区別できなくなる極限で特異モデルになっている。

それでは $q(x)$ が $\frac{e^{-x^2/2}}{\sqrt{2\pi}}$ ではなくそれに近い分布だとしたらどうなるだろうか？

たとえば $q(x) = p(x|a_0, b_0)$ が b_0 が 0 に近い値だったとどうなるだろうか？

そのような場合には $q(x)$ のサンプル X_1, \dots, X_n から尤度函数 $(a, b) \mapsto \prod_{k=1}^n p(X_k|a, b)$ をプロットしたもの以下である。



これを見ると $(a,0)$, $(0,b)$ に沿って尤度函数の台が拡がっていることがわかる。

サンプルを生成した分布(真の分布)は $q(x) = p(x|0.5, 0.1)$ である。

モデル $p(x|a,b)$ は $q(x)$ について正則モデルである。

しかし、特異モデルに非常に近く、サンプルサイズ n を増やしてもなかなか真のパラメータ値に集中する单峰型にならない。

MLEは最大尤法の解である(星印)。

サンプルサイズ n を大きくしても星印の位置は全然収束していない。

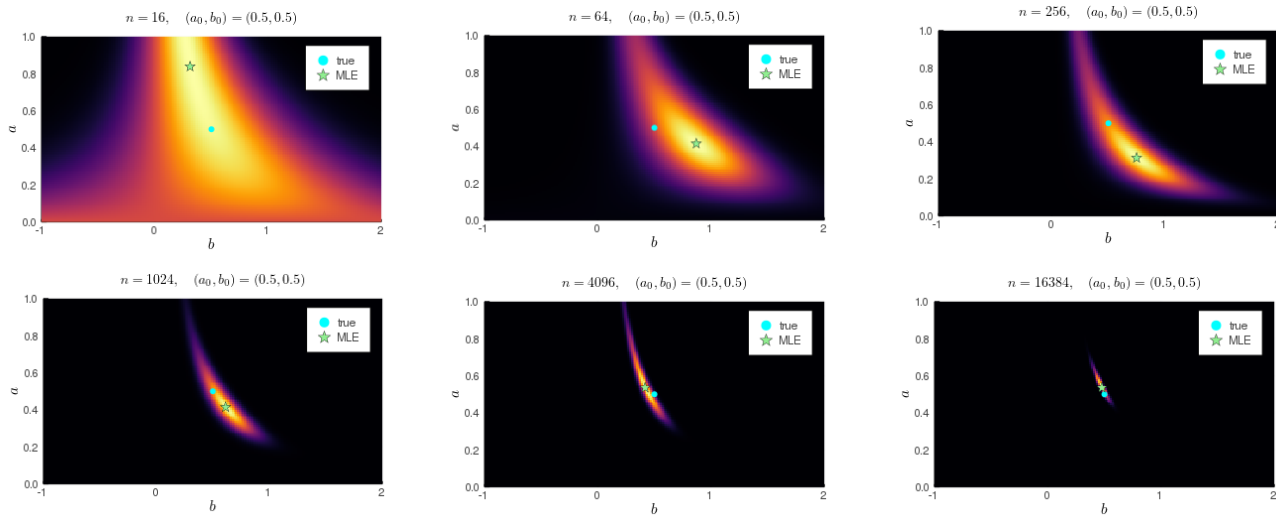
□

例 (正則モデルの尤度函数の典型的な漸近挙動の例)

$$p(x|a,b) = (1-a) \frac{e^{-x^2/2}}{\sqrt{2\pi}} + a \frac{e^{-(x-b)^2/2}}{\sqrt{2\pi}} \quad (0 \leq a \leq 1, b \in \mathbb{R}) \text{ とおく。}$$

分布 $q(x) = p(x|0.5, 0.5)$ で サイズ "n" のサンプル X_1, \dots, X_n を生成して、

モデル $p(x|a,b)$ の尤度函数 $(a,b) \mapsto \prod_{k=1}^n p(X_k|a,b)$ をプロットしてみた、



サンプルサイズ n を大きくしていくと、尤度函数は单峰型になり、
その台がサンプルを生成した母集団分布 $q(x) = p(x|0.5, 0.5)$ のパラメータ値に集中して行く、
ということがわかる。

これが、正則モデルの尤度函数の漸近挙動の典型例である。

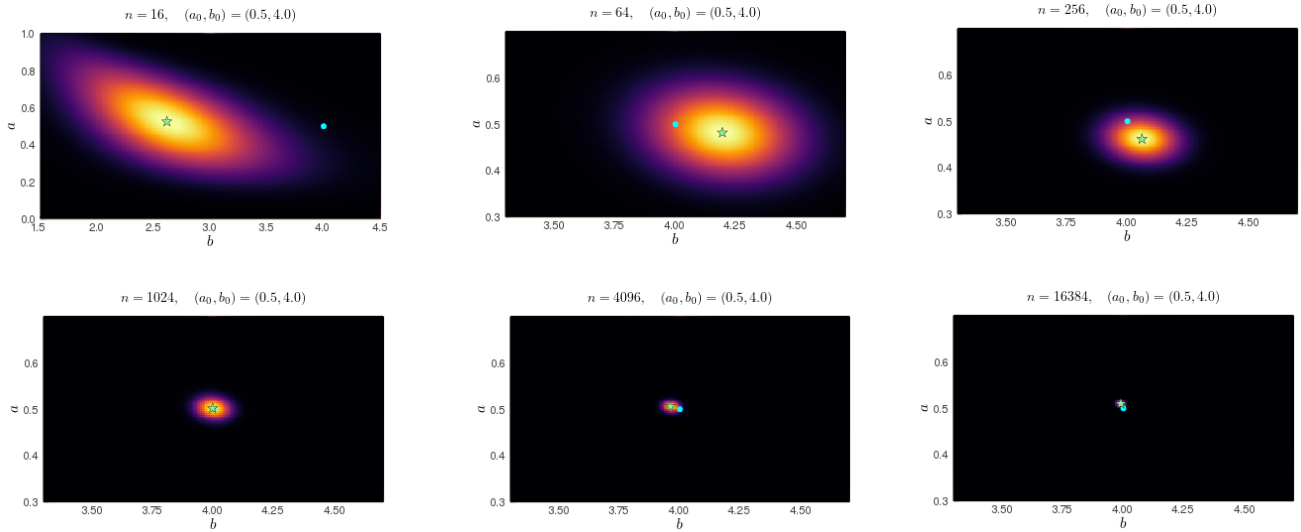
最尤法の解の星印の位置は $n \rightarrow \infty$ で 真の値 $(0.5, 0.5)$ に収束する。 □

注意 渡辺澄夫氏によると、特異モデルの場合も含めて Bayes 推測の $n \rightarrow \infty$ での漸近挙動がわかっている。本質的に広中の特異点解消定理を使う。そこでの特異点解消の使い方は M. Atiyah 氏による「特異点解消は具体的な積分の計算にも役に立つ」という指道で拡張したものである。

M. F. Atiyah, Resolution of Singularities and Division of Distributions, 1970.
<https://doi.org/10.1002/cpa.3160230202>

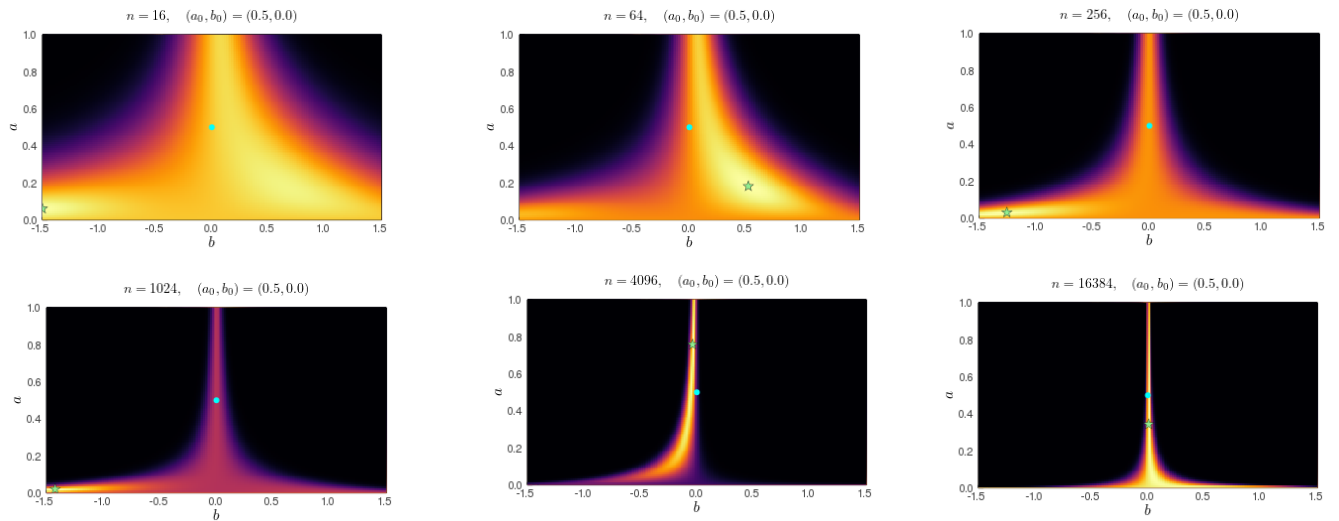
□

例 (より完全に正則モデルの場合)



最尤法の解の星印は正則モデルでは $n \rightarrow \infty$ で 真の値に収束する。 □

例 (ひったり特異モデルの場合)



$n \rightarrow \infty$ で “尤度が” $ab=0$ の近くに集中して来ている。 □

情報量規準：自由エネルギー

Bayes推論で用いる数学的モデル内で、サンプル X_1, \dots, X_n は密度函数

$$z_n(x_1, \dots, x_n) = \int \varphi(w) p(x_1|w) \cdots p(x_n|w) dw$$

を持つ確率分布で生成されたのであった。一方、母集団分布 $q(x)$ のサンプルは密度函数

$$Q_n(x_1, \dots, x_n) = q(x_1) \cdots q(x_n)$$

を持つ確率分布で生成される。分布 z_n による分布 Q_n の予測誤差は

$$D(Q_n||z_n) = G(Q_n||z_n) - S(Q_n),$$

と表される、ここで、

$$G(Q_n||z_n) = \int \int Q_n(-\log z_n) dx_1 \cdots dx_n = (-\log z_n \text{の } Q_n \text{に関する平均}), \quad S(Q_n) = G(Q_n||Q_n).$$

$G(Q_n||z_n)$ が小さくなるほど Q_n の予測における誤差が小さくなる。

しかし、統計学を使用する状況では母集団分布 $q(x)$ は未知であり、分布 Q_n を用いた平均を計算することにはできない。

分布 Q_n で生成されたサンプル（の実現値） X_1, \dots, X_n のみを我々は使用できる。

$G(Q_n||z_n) = (-\log z_n \text{の } Q_n \text{に関する平均})$ の推定値として、 $-\log z_n$ の実現値

$$F_n = -\log z_n(X_1, \dots, X_n) \quad (X_1, \dots, X_n \text{ は } Q_n \text{ のサンプルの実現値})$$

を用いることとする。平均（期待値）の推定値として実現値を用いることは、

かなり大胆な発想だが、 F_n の漸近挙動より、誤差の小さなモデルの選択のために十分に役に立つことが知られている。この F_n を Bayes 自由エネルギー と呼ぶ。

定理 (渡辺澄夫) $D(q||p(\cdot|w))$ を最小にする w を w_0 と書き、いくつか適当な条件を仮定すると、ある正実数 λ と正の整数 m が存在して、

$$F_n = n L_n(w_0) + \lambda \log n - (m-1) \log \log n + O(1),$$

ここで、

$$L_n(w) = -\frac{1}{n} \sum_{k=1}^n \log p(X_k|w) \quad (\text{対数尤度の } -\frac{1}{n} \text{ 倍}). \quad \square$$

注意 $q(x)$ のサンプル X_1, \dots, X_n に依存するのは $F_n, n L_n(w_0), O(1)$ の部分である。

仮に、2つの確率モデル $p_1(x|w)$ と $p_2(x|w)$ の w_0 をそれぞれ $w_0^{(1)}, w_0^{(2)}$ と書くとき、
 $p_1(x|w_0^{(1)}) = p_2(x|w_0^{(2)})$ となるならば、 $n L_n(w_0)$ の項は2つのモデルで同じになり、
 n が十分大きければ、 F_n の大小関係は、モデルから決まる定数 λ, m だけで決まるところになる。
 そして、 $n L_n(w_0)$ の項は $O(n)$ のオーダーなので、 $p_1(x|w_0^{(1)}) \neq p_2(x|w_0^{(2)})$ ならば $n L_n(w_0)$ の項の
 差は大きくなる可能性が高い。以上が自由エネルギーがモデル選択に役に立つ
 理由である。 □

注意 しかし、自由エネルギーの数値計算は一般に容易ではない! □

情報量規準： WAIC

Bayes推論では分布 $q(x)$ のサンプル X_1, \dots, X_n から予測分布

$$p_n^*(x) = \int \varphi_n^*(w) p(x|w) dw, \quad \varphi_n^*(w) = \frac{q(w) p(X_1|w) \dots p(X_n|w)}{Z(X_1, \dots, X_n)}$$

が得られる。このとき、予測分布 $p_n^*(x)$ による $q(x)$ の予測の誤差は

$$D(q||p_n^*) = G(q||p_n^*) - S(q) \quad (G(q||p_n^*) = - \int q(x) \log p_n^*(x) dx, \quad S(q) = G(q||q))$$

と表わされる。汎化誤差 $G(q||p_n^*)$ が小さいほど予測誤差は小さくなる。しかし、 $G(q||p_n^*)$ は未知の分布 $q(x)$ に関する $-\log p_n^*(x)$ の平均であり、直接計算することはできない。大数の法則を用い、汎化誤差 $G(q||p_n^*)$ を学習誤差 (training error)

$$T_n = -\frac{1}{n} \sum_{k=1}^n \log p_n^*(X_k) = -\frac{1}{n} \sum_{k=1}^n \log \int \varphi_n^*(w) p(X_k|w) dw$$

で近似できる。この近似による誤差は $O(1/n)$ のオーダーになるが、 $O(1/n)$ の誤差は（少なくとも正則モデルの場合には）確率モデル $p(x|w)$ のパラメータ $w = (w_1, \dots, w_d)$ の個数 d に比例して大きくなる。ゆえに、パラメーターの個数が異なるモデルの選択をより正しく行ななければ $O(1/n)$ の項の推定量をうまく見付けてやる必要がある。

一意実現可能正則モデルのケースにおける赤池情報量規準 AIC では $O(1/n)$ の項の推定量を $\frac{d}{n}$ と設定した：

$$aic_n = -\frac{1}{n} \sum_{k=1}^n \log p(X_k|\hat{w}_n) + \frac{d}{n}, \quad \hat{w}_n \text{ は最大法の解。}$$

ただし、統計学では χ^2 検定との相性の良さを優先して、この $2n$ 倍を AIC とすることが多い：

$$AIC_n = -2 \sum_{k=1}^n \log p(X_k|\hat{w}) + 2d. \quad (\text{パラメーターの個数の分だけペナルティーを課すだけなのでわかりやすい。})$$

符号モデルの Bayes 統計でも使える $O(1/n)$ の項の推定量を見付けたのが、渡辺澄夫による widely applicable information criterion WAIC である：

$$waic_n = T_n + \frac{V_n}{n}.$$

ここで、

$$\begin{aligned} V_n &= \sum_{k=1}^n \left(\int \varphi_n^*(w) (\log p(X_k|w))^2 dw - \left(\int \varphi_n^*(w) \log p(X_k|w) dw \right)^2 \right) \\ &= \sum_{k=1}^n \left(\text{事後分布 } \varphi_n^*(w) \text{ に関する } \log p(X_k|w) \text{ の分散} \right). \end{aligned}$$

$WAIC_n = 2n waic_n$ となる。

$$\begin{aligned} WAIC_n &= -2 \sum_{k=1}^n \left(\log \left(\text{事後分布 } \varphi_n^*(w) \text{ に関する } p(X_k|w) \text{ の平均} \right) \right. \\ &\quad \left. + \left(\text{事後分布 } \varphi_n^*(w) \text{ に関する } \log p(X_k|w) \text{ の分散} \right) \right). \end{aligned}$$

定理 (渡辺澄夫) 分布 $q(x)$ のサンプルを動かす平均を $E[\cdot]$ と書く,

$$E[G(q \parallel p_n^*)] = E[\text{waic}_n] + O(\frac{1}{n^2}).$$

サンプルを動かす平均を取れば“汎化誤差”と WAIC は $O(1/n^2)$ の誤差を除いて一致する。□

注意 waic_n は直接 $G(q \parallel p_n^*)$ の推定量として使われ、その場合の推定誤差は $n \rightarrow \infty$ としても $O(\frac{1}{n^2})$ で小さくはならない。 $O(\frac{1}{n})$ の誤差が残る! □

定理 (渡辺澄夫) $L_n(w) = -\frac{1}{n} \sum_{k=1}^n \log p(X_k | w)$ とおくと、

$$(G(q \parallel p_n^*) - G(q \parallel p(\cdot | w_0))) + (\text{waic}_n - L_n(w_0)) = \frac{2\lambda}{n} + O\left(\frac{1}{n}\right).$$

両辺を $2n$ 倍すると、

$$2n(G(q \parallel p_n^*) - G(q \parallel p(\cdot | w_0))) + (WAIC_n - 2 \sum_{k=1}^n (-\log p(X_k | w_0))) = 4\lambda + o(1). \quad \square$$

他に λ という実数有理不変量もある。

λ はモデルの実数有理不変量、

注意 おおざつは⁰に言えば、これは予測分布 $p_n^*(x)$ の汎化誤差とその推定量である waic_n の $O(\frac{1}{n})$ の項が“逆相関”することである!

WAIC は、2つのモデルの waic_n が“小さな方”が予測分布の予測誤差が小さいと判断するために使われるのか、上の逆相関性のせいで $n \rightarrow \infty$ としてもその判断が走りがっていふ確率が⁰に収束しない場合が出て来てしまう。AICについても同様であり、AIC や WAIC の利用者はそれらが非常に繊細な道具であることを理解して使う必要がある。□

注意 $\text{waic}_n - L_n(w_0)$ の部分は次のように書き直される。

$$\text{waic}_n - L_n(w_0) = \begin{pmatrix} \text{パラメータ } w \text{ を持つ} \\ \text{確率モデル } p(x|w) \\ \text{の } \text{waic}_n \end{pmatrix} - \begin{pmatrix} \text{パラメータ } w \text{ が固定されている} \\ \text{パラメータ } w \text{ を何も持たない} \\ \text{確率モデル } p(x|w_0) \\ \text{の } \text{waic}_n \end{pmatrix}.$$

パラメータが固定されているとき、事後分布による平均は平均を取る前の値そのものになり、分散は 0 になるので $L_n(w_0)$ はモデル $p(x|w_0)$ の waic_n とみなされる。□

例 $D(q \parallel p(\cdot | w))$ を最小化する $w = w_0$ の個数を m とし、 $w = w_0$ での Hessian が退化していくことを（正則モデルの場合に）、 $w = (w_1, \dots, w_d)$ （パラメータが d 個）ならば $\lambda = \frac{d}{2}$, $m = 1$ となる。等異モデルで“入力 λ ”より小さくなる。等異モデルのケースの方が Bayes 推論の収束は速くなる。□

汎化誤差と WAIC の “逆相関” は次の定理から導く。

定理 (渡辺満夫) サンプルに依存するある確率変数 E_n が存在して、

$$G(q \parallel p_n^*) - G(q \parallel p(\cdot | w_0)) = \frac{1}{n} \left(\lambda + \frac{1}{2} E_n - \frac{1}{2} V_n \right) + o\left(\frac{1}{n}\right),$$

$$\text{waic}_n - L_n(w_0) = \frac{1}{n} \left(\lambda - \frac{1}{2} E_n + \frac{1}{2} V_n \right) + o\left(\frac{1}{n}\right). \quad \square$$

この定理は パラメーター z, w を持つ確率モデル $p(x|z, w)$ について、 $G(q \parallel p(\cdot | z, w))$ を

最小化するパラメーターが z_0, w_0 のとき、 $p^{(1)}(x|z, w) = p(x|z, w)$, $p^{(0)}(x|z) = p(x|z, w_0)$ とすると、

$$G(q \parallel p_n^{(1)*}) - G(q \parallel p_n^{(0)*}) = \frac{1}{n} \left(\lambda + \frac{1}{2} E_n - \frac{1}{2} V_n \right) + o\left(\frac{1}{n}\right) \quad \begin{cases} z = (z_1, \dots, z_{d_0}) \\ w = (w_{d_0+1}, \dots, w_{d_1}) \end{cases}$$

$$\text{waic}_n(p^{(1)}) - \text{waic}(p^{(0)}) = \frac{1}{n} \left(\lambda - \frac{1}{2} E_n + \frac{1}{2} V_n \right) + o\left(\frac{1}{n}\right)$$

の形に拡張されるように思われる。 $p^{(1)}$ が “正則モデル” ならば $\lambda = \frac{d_1 - d_0}{2}$ となるだろう。

情報量標準 LOOCV

X_1, \dots, X_n から X_m を除いたサンプルから作った予測分布に X_m を代入したものは

$$\begin{aligned} p_{n,m}^*(X_m) &= \frac{\mathbb{E}(X_1, \dots, X_m, \dots, X_n)}{\mathbb{E}(X_1, \dots, \cancel{X_m}, \dots, X_n)} = \frac{\int \varphi(w) p(X_1|w) \cdots p(X_n|w) dw}{\int \varphi(w) p(X_1|w) \cdots p(X_n|w) p(X_m|w)^{-1} dw} \\ &= \left(\text{ X_1, \dots, X_n から作った事後分布に関する } p(X_m|w)^{-1} \text{ の平均} \right)^{-1} \\ &= \left(\int p(X_m|w)^{-1} \varphi_n^*(w) dw \right)^{-1} \end{aligned}$$

この対数の -1 倍の m を動かした平均を LOOCV (leave-one-out cross validation) と呼ぶ：

$$100CV_n = -\frac{1}{n} \sum_{m=1}^n \log p_{n,m}^*(X_m) = \frac{1}{n} \sum_{m=1}^n \log \int p(X_m|w)^{-1} \varphi_n^*(w) dw.$$

この X_1, \dots, X_n を動かした平均は $G(q \parallel p_{n-1}^*)$ の X_1, \dots, X_n を動かした平均と一致する。

定理 (渡辺満夫) $100CV_n = waic_n + O(\frac{1}{n^2})$. \square

$100CV_n$ は $waic_n$ と同様の使い方をできる。